

治 金 譯 从

有 色 金 屬

蔣 安 仁 主 編

1

上海市科學技術編譯館

內容簡介

为了便利有色冶金工作者了解国外有色冶金的研究和作业情况，特編譯出版本專輯，共选題十六篇，內容主要分为三个方面：制备純金属、熔鹽电解以及分离提純。

在純金属制备方面，选择了碘化法、真空蒸餾、电弧熔炼、区域熔融以及电解等方法，通过几种元素来敘述。五篇譯文介紹熔鹽电解，对难熔金属的电解作了探討，其中包括熔鹽电解条件的研究（槽液組成、温度、材料、电流密度等）、熔鹽电解密閉槽的設計以及熔鹽电解金属的提純問題。关于分离提純方面，只侧重于重金属冶金中一些新近发展的問題。

冶金譯丛——有色金属

蒋安仁主編

上海市科學技术編譯館出版
(上海南昌路59号)

新华书店上海发行所发行 各地新华书店經售
上海大众文化印刷厂印刷

开本 787×1092 毫米 1/32 印張3 1/2 字数100,000

1962年7月第1版 1962年7月第1次印刷

印数 1—1,500

书 号: 6017·38

定 价: 0.75 元

2k578/25

目 录

一、用碘化法精炼制取高纯度金属钒.....	(1)
二、铍的真空蒸馏法精炼.....	(11)
三、真空电弧熔炼提纯钼.....	(16)
四、硅的提纯及均匀性单晶的制造.....	(21)
五、应用切希拉尔斯基 (Чохральский) 法制备均匀 半导体单晶.....	(28)
六、电解法制备钼.....	(32)
七、某些钼化合物的分解电位和熔盐电解制备金属钼...	(40)
八、熔盐电解制备延性钼.....	(46)
九、熔盐电解制备金属钼的研究.....	(56)
十、氧化钍的电解还原.....	(70)
十一、北方镍业公司的铜-镍高锍浮选分离	(80)
十二、高纯度钴的生产.....	(90)
十三、用离子交换法从镍和钴的氯化物溶液中除去少量 的铜、铅、锌.....	(92)
十四、含金阳极泥的硫酸化焙烧.....	(98)
十五、铜废渣的处理.....	(101)
十六、由电解钼粉制取可塑性钼.....	(103)

15.7
117
O. Z.

一、用碘化法精炼制取高纯度金属钒

O. N. Carlson 等

24578 / 25

摘要

叙述用 *Van Arkel-de Boer* 碘化法来制取纯度为 99.95 + % 的金属钒。确定了获得最高纯度和最适宜的晶体生长速度的条件。同时提供了杂质从原料移入熾热体的数据以及討論为蒸餾炉体所沾污的情况。比較了以彈式还原和海綿法所制得的钒作为原料时对成品质量的关系。提出了这种金属晶体棒的某些物理性能。描述了每批制备数磅金属的設備設計。

Van Arkel 在 1934 年首先提出了用碘化物热离解制备金属钒的方法。在 800°C 时粗钒与碘在真空石英管中起反应，挥发的碘化物则离解于 1000°C 的熾热鎳絲上。*Shelton* 认为基于碘化钒的揮发性比較低，因而使其成晶体棒的运用受到了限制。

据 *Nash* 及其他諸人觀察，当习常的 *Van Arkel* 工艺应用于钒时有一种形成疏松結晶聚集体的倾向，因而他們修改了这种方法，以便得到一种緻密結晶沉积物。整个的方法是用一种“直流”(*Straight-flow*)法，使碘化钒流經熾热絲，所产生的碘則从这个系統移去。粗钒与碘蒸汽在 900°C 时反应形成二碘化物。当碘化反应完成后，第二步乃使碘化物热离解。先使設備系統抽真空，而后慢慢升溫至 800°~900°C，保持熾热体的溫度为 1400°C。如是可得到一种韌性的晶狀的金属钒沉积，它具有高度延展性，硬度为 64VHN。

本文所进行的研究是为了制得高纯度钒以用于研究和扩大操作。本試驗全面地探討了得到最合适晶体生长速度及最高纯度的各种条件。最終

目的在于能扩大成为一种制取 5 磅数量碘化法钒的方法，使这种高纯金属能用于钒的研究工作方面。

試驗設備及制备方法

整个試驗在一球形密封设备中进行。試驗首次在一直徑 3.5 吋長 12 吋的“維可”(Vycor) 容器（譯者註：一种球形筒状容器，可用石英或硬質玻璃制成，抽真空后可以熔封，形式略似保暖瓶）中进行。系由用以置放粗钒的下部，以及由二个密封鎢电极和一个通入碘的支管的上部所組成。粗钒原料以細粒或碎屑的形式环置于“維可”筒壁与鉬網之間。一个“髮夾型”的钒絲发热体悬挂在鎢电极下。炉体的上下部熔接在一起。将球形炉体抽真空至 10^{-5} m.m. 。汞柱和加溫到 850°C ，以排除气体，然后封牢。在进行这些操作时，盛碘的支管事先浸于干冰浴內。然后使熾热体达到离解溫度，并将碘揮发入炉体使反应开始。通常每次操作在24小时内可得到 150 克晶体钒棒。

大部分實驗是在英科鎳合金炉体中完成的，如是可避免“維可”设备系統最后遇到的上部和下部熔接时的麻煩。金属炉体装有水冷电极和以水冷却的真空接头（見图 1），粗钒置于鉬網和內壁之間，如图上所示那样，将熾

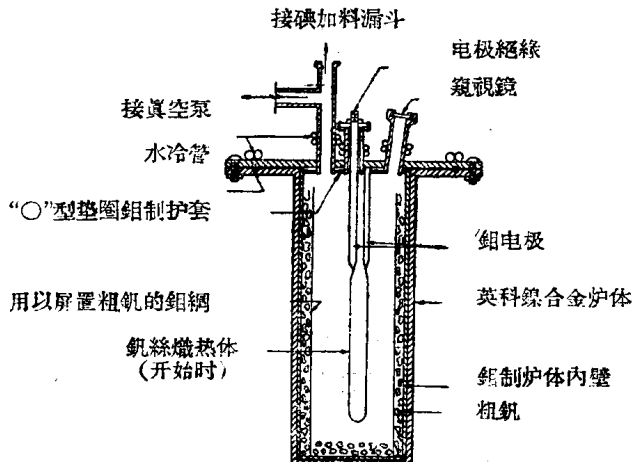


图 1 制造晶体棒钒的设备

热体与铂电极连接。将设备系统紧闭，在抽真空至 $10^{-5} m. m.$ 汞柱和 850°C 时除气。将炽热体升至需要的温度，结晶状的碘固体直接从装料漏斗落入已加热的炉体中。此时可能由于微量漏气的缘故，再加上碘的分压，以致在试验后一阶段压力即上升到 $10^{-2} m. m.$ 汞柱。由于碘化钒冷凝于设备上部的水冷部分，结果使设备的效率降低，如是需要 48 小时才能制得 150 克沉积物。

整个试验中炽热体的表观温度在加碘之前用光学高温计测定。钒丝的辐射系数未予校正。灯丝炽热体的温度在整个过程中能比较地维持稳定，以致毋须调节电压。这种意外情况减少了一般晶体棒法中必然会遇到的灯丝炽热体温度的测量和控制问题。

原料温度用放在炉体外表的热电偶来测定。此温度是在除气时用插在原料中的热电偶来标定过。但在操作过程中并未校正因灯丝炽热体辐射而引起的影响。

炉体用一种温度能升至 1000°C 的开启式电阻炉加热。灯丝炽热体则采用一个 15KVA 降压式自耦变压器供给电能，利用丝的内电阻来加热。

由于碘在高温时能侵蚀英科镍合金炉体，以致最终产品被铁和铬所沾污。为了减少这种沾污，一种钼制的内襯被用来作为碘蒸气的屏障。内襯以 0.02 吋厚的钼皮制成，并在惰性气体中焊接。使用钼时没有被沾污的危险，因为在那种温度时碘对钼的作用仍是非常迟钝的。

蒙乃尔合金、蒙乃尔-K 合金、镍以及英科镍合金均经试验过可用作金属炉体的材料。虽然它们都比较不易被碘侵蚀，但在 800°C 以上和一个较长的时间内只有英科镍合金能耐得住空气的侵蚀。

实 验 结 果

在用热离解法制取金属沉积物时，若干因素能影响其晶体生长速度、物理性能和化学纯度。而各种金属对获得最适宜的晶体生长速度和最高纯度的条件均不相同，必需通过实验来确定。

不同原料的比较 在结晶棒法的净化工艺中须要用小粒碎屑或多孔粒状的粗金属原料，以此保证有足够的表面积与碘蒸汽加速反应。两种形式的钒即其后称之为“弹式还原”（即热压还原——译者注）和“碳还原”的钒

在这个試驗中被用来作为原料。用彈式还原法制得的金属系采用 *Seybolt* 所創造的方法，使五氧化二钒与鈣在一密封容器中起金属热还原反应而制成。成团的钒块每个約重 20 磅，用鎢床或磨臼加工成小块，以此在真空中加热到 1200°C，使除去剩余的鈣。

表 1 以鈣还原和碳还原钒作原料的比較

元素	鈣还原钒原料的重量百分比	碳还原钒原料的重量百分比
V	99.0*	96.0*
Si	0.01~0.05	0.01~0.05
Fe	0.005~0.03	0.005~0.08
Mg	0.005	0.002
Cr	0.005	0.005
Cu	0.01	0.01
Ti	0.002	0.002
Ca	0.003	0.002
O	0.10~0.40	2.0~12.0
H	0.005	0.005
N	0.03~0.18	0.03~0.05
C	0.2	2.0~8.0

* 钒的含量以差減法測定。

碳还原法钒是采用 *Wilhelm* 創造的使高純碳与五氧化二钒反应的方法。原料在氩气流中加热到 800°C 左右，使五氧化二钒还原成比較稳定的低价氧化物。然后繼續在真空中加热到 1600°C，并保持数小时。結果得到的海綿体很易破碎成小片，因而能直接应用于碘化法。經化学分析知有一定量的碳和氧存在。可以控制原始氧化物原料与碳之間的比例来改变海綿体中有关杂质的相对含量。

兩种原料的比較如表 1 所示。这些数据指出，以彈式还原法制得的金属中非金属杂质含量較低，至于对金属杂质而言，则兩者具有相等的純度。

原料及熾热体温度对晶体生长速度的影响 *Morette* 發现钒与碘在低压下形成二种化合物。他认为这些化合物是二碘化钒及三碘化钒，

但在这个試驗的原料溫度时仅发现有二碘化釔揮发。Morette 又指出二碘化釔在 750°C 升华，至 800°C 时部分进行热离解。为了确定最适当的原料溫度，曾做过一系列的試驗，使原料溫度在 200°~900°C 之間变动。而熾热体溫度保持 1300°C 不变。

由每週期 48 小时沉积的金属量定为晶体生长速度，将它与原料溫度之間的函数关系繪于图 2 上。从图中可以看出原料溫度在 850°C 左右时晶体生长速度达到极大值。这与 Fast 在研究鋯时所提出的情况相同，虽然最适宜的溫度各不相同。

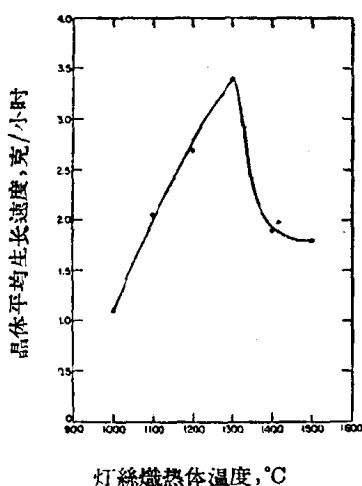


图 3 以碘代釔为原料时得到的晶体生长速度对灯絲熾热体溫度之关系图

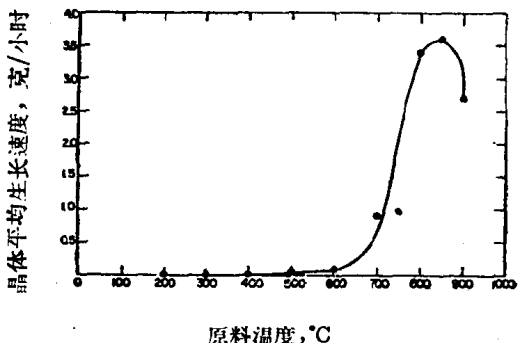


图 2 晶体生长速度对碘化釔原料溫度

为了求得碘化物的最适宜离解溫度，将原料溫度保持 800°C 不变，而灯絲熾热体的溫度則在 1000°~1500°C 之間变动。虽然后来发现最适当的原料溫度是 850°C，但試驗并未在这个溫度重复进行。因为在指定的熾热体溫度时，由于离解速度是与原料上碘化物的分压成比例，因此图 3 所示的各种熾热体溫度对于晶体生长速度的曲綫形状将不会改变。綫上每一点所表示的晶体平均生长速度是經過 3 次或 3 次以上試驗，从每根晶体棒的重量除以晶体生长时间而求得的。显然，沉积速度与熾热体溫度有关，而当熾热体溫度为 1300°C 左右时沉积速度

达到极大值。从曲线可以看出由1000°C到1300°C时沉积速度增长,这可能由于增加熾热体溫度时增加了碘化釩的离解速度所致。与Shapiro在研究鋯时所見的情况相似,当溫度超过1300°C时晶体生长速度下降。他认为这是由于熾热体附近游离碘的濃度太高,以致阻碍了碘化物蒸汽向晶体棒扩散的原故。

非金属杂质的轉移 碘化精煉的主要优点在于能除去非金属杂质或晶間杂质。这些杂质往往要影响結構灵敏性的正确测定,如抗張强度、硬度、晶格参数、电阻系数等。所以应尽量注意并控制碘化法釩中非金属杂质的来源。

碘化精煉法中杂质的来源有二。其一是由于反应器皿漏气或原料及容器表面放出气体时所造成的气体沾污。本試驗在每次开始工作时对于經常地注意真空漏气問題和設備系統及原料的去气問題特別當心,俾使气体杂质沾污的来源降低到最小限度。

另一非金属杂质来源乃属原料本身。这些杂质可能由于其固有的揮发性或由于形成一揮发性中间物(如氯碘化物)而轉移到熾热体中。改变了粗

表2 氧从原料到熾热体的轉移

原料中氧的重量百分比	晶体棒中氧的重量百分比	轉 移 率*
0.06	0.004	0.07
0.4	0.033	0.08
0.60	0.020	0.03
2.6	0.027	0.01
3.7	0.031	0.008
4.0	0.050	0.01
4.9	0.052	0.01
5.9	0.062	0.01
7.5	0.039	0.005
9.5	0.047	0.005
10.0	0.028	0.004
10.0	0.130	0.01
11.3	0.180	0.02

* 杂质由原料移入晶体棒的分數

表3 碳从原料到熾热体的轉移

原料中碳的重量百分比	晶体棒中碳的重量百分比	轉 移 分 數*
0.11	0.020	0.18
0.12	0.009	0.08
0.14	0.007	0.05
0.15	0.020	0.13
0.17	0.012	0.07
0.21	0.006	0.03
0.23	0.003	0.01
0.25	0.018	0.07
1.0	0.034	0.03
2.8	0.013	0.005
3.6	0.015	0.004
4.9	0.016	0.003
6.2	0.020	0.003
7.2	0.016	0.002
8.3	0.010	0.001

* 杂质原料移入晶体棒的分数

钒中氧、氮及碳的含量来观察晶间杂质从原料到晶体棒的转移。这些试验在原料温度为800°C和炽热体温度为1300°C时进行的。

如表1所示，用于这项试验的粗钒，由于还原方法不同，所得到的钒中含氧量在0.1%~12%之间。为了进行氧的转移试验，将弹式还原钒经真空电弧熔炼制成。含氧0.06%的原料，经过若干次试验，以比较原料和晶体棒中含氧量，结果列于表2。如表中右端的系数所指出，含氧高的原料仅有1%被转移，至于含氧低的原料，约有8%被转移。虽然氧转移的机理尚未查明，作者相信这可能由于形成挥发性的氧碘化物所致。

含碳量自0.11~8.3%的粗钒被用作一系列的试验。原料和晶体棒的分析结果见表3。与上述氧的情况有类似的倾向；即当原料中杂质（碳）含量较高时，产生的转移系数仍是较低的。不论原料中碳的含量如何，得到的金属中通常含碳约0.01~0.02%。至于碳的最明显来源是粗钒，而其转移机理则未予确定。

表 4 杂质从 800°C 的原料转移到 1300°C 的灯丝熾热体

元素	装料中重量百分比	晶体棒中重量百分比	轉 移 分 数
<i>Al</i>	10.0	0.17	0.02
<i>Cr</i>	0.10	0.1	1.0
	0.08	0.1	1.2
<i>Cu</i>	0.12	0.020	0.16
	0.12	0.036	0.30
<i>Fe</i>	0.07	0.05	0.79
	0.06	0.07	1.35
<i>H</i>	0.005	0.001	0.2
<i>N</i>	0.18	0.0005	0.003
<i>Ni</i>	0.13	0.007	0.05
<i>Si</i>	0.13	0.017	0.13
<i>Ti</i>	0.05	0.006	0.12
	0.09	0.010	0.11
<i>Y</i>	0.50	未检出	0

本試驗所用原料的含氮量为 0.08~0.18%。几次发现，炉体漏气的試驗除外，最后得到的晶体棒中氮的含量往往低于 *Kjeldahl* 微量分析法所能测定的限度（含氮小于 0.001%）。以真空熔融法测定的数据一般低于 0.0005%，且經常得到小于百万分之一的数据。含氮量的結果如表 4 所示。

晶体棒中氢的含量与原料中比較起来也是比较低的（見表 4）。由于氢在真空退火时可預先从钒中除去。故沒有系統地研究它的轉移情况。曾企图测定金属中碘的含量，但未得到满意的分析方法。

金属杂质的轉移 粗原料和反应器皿是晶体棒中金属杂质的两个主要来源。杂质元素的碘化物如与碘化钒在相同的溫度范围内挥发，则該元素能与钒一起析出于熾热体。有意将晶体棒或粗金属中常見的那些金属杂质加入到原料中，加入的数量各約 0.1% 重量比。将这种包括不同金属加入量的原料电弧熔炼成合金，磨成碎块以后被用于金属轉移試驗。如表 4 数据所示，在一定条件下有 5~15% 的鎳、硅、钛从原料轉移到晶体棒中。銅的轉移幅度則較大。

表 5 碘化法精炼钒的代表性分析*

元素	重量 %	元素	重量 %
<i>Ca</i>	<0.002	<i>Ng</i>	<0.002
<i>C</i>	0.015	<i>Ni</i>	0.002
<i>Cr</i>	0.007	<i>N</i>	<0.0005
<i>Cu</i>	0.003	<i>O</i>	0.004
<i>H</i>	0.001	<i>Si</i>	<0.005
<i>Fe</i>	0.015	<i>Ti</i>	<0.002

* 未检出: *Al, Ag, As, Au, B, Be, Bi, Cd, Ge, Hf, Hg, Mu, Mo, Na, Nb, P, Pb, Pt, Sb, Sn, Ta, Te, Tl, W, Zn, Zr.*

一种10%的鋁合金也被用在这次試驗。有趣的是,由于这种合金很脆,以致能迅速地破碎成适宜于原料的形式。虽然仅有2%的鋁从原料移入晶体棒中,但对这个實驗来讲,最后的含鋁量还是太高,沒有进一步去研究。

實驗指出,鐵和鉻从原料中定量地移入晶体棒,而鎳則较少。因而证实了以前的觀察,即在英科鎳合金炉体中制钒时,在放入鉛皮內襯之前所得到的钒,其中鉄和鉻的含量各为0.3~0.5%。而这个金属中鎳的含量一般小于0.01%, 虽然英科鎳合金中含有80%鎳 5%鐵与15%鉻。用鉛皮作內襯后可降低鉄和鉻的含量,至其原料中的含量則仍与前相同。

曾經用含鉻0.5%的合金作为原料,进行过几次試驗,得到了鉻的轉移数据。由于鉻和氧有很大的亲和力,可以期待有一种稳定的氧化鉻相将在钒矩陣中形成,因而能降低原料中氧的轉移值。虽然沒有确证可以用这种方法来阻止氧的轉移,但发现鉻的轉移系数很低,由于其碘化物在熾热体溫度范圍內仍是相当稳定的。

碘化精炼法的估价 具有純度99.95%強的金属钒可用碘化法来制得。用此法所得金属的代表性分析結果如表5所示。表上所列許多元素的数据往往低于分析限度。这种金属的若干性能經測定后列于表6。

晶体棒法的扩大試驗

已經制成一种用英科鎳合金作材料的每次容量为生产5磅晶体棒的設

表6 晶体棒的性能

性 能	测 得 数 值
熔 点	$1890^{\circ}\text{C} \pm 10^{\circ}\text{C}$
晶格常数	$3,026 \text{ \AA} \pm 0.001$
极限抗张强度	$26,500 \text{ 磅}/\text{吋}^2$
屈服点	$17,000 \text{ 磅}/\text{吋}^2$
面积缩小	$>99\%$
硬 度	$57 DPH \quad 16 R_E$
电阻系数(20°C)	25.5微欧姆·厘米

备。这项设备与前述实验室操作所用的设备相类似。拟用惯常的惰性气体焊接方法来制造一个圆形钼炉体，结果在焊接面内部产生高应力，以致当冷却时会使焊接区域破裂，因此造成失败。英科镍合金炉体长3呎，直径1呎，壁厚0.25吋。内襯系用0.025吋厚的钼皮制成。采用镍钎焊的工艺。由于在 950°C 以上镍—钼系中产生一个脆的中间相，因此，将试样在假想的操作条件下，经过加热和冷却的反复处理，以测定焊接点的完整性。经过这些试验，证明试样的焊接部分具有足够程度的塑性。为了防止碘化物接触到设备的水冷部分的表面而冷凝，如小型设备发生的那样，因此金属垫圈被用来使真空密封。炉体顶部的法兰系用“O”形铂垫圈。垫圈被挤入设备顶部平面之间的凹槽内，并彼此紧固。如是顶部在 600°C 以上仍能保持良好真空。

灯丝熾热体开始直径为0.08吋，长为15呎，系用碘化法经电弧熔炼后冷加工制成，以此弯成三个髮夾形环索吊于圆形钼板上，并用石英绝缘。

类似Shapiro设计的，用于制备铯的高温真空调节器被应用于这一设备上。这种调节器能在 850°C 以上的温度使用，而保持良好的真空密封，从而能保持整个反应区域在二碘化铯挥发温度以上。

本文前述最适当的条件同样适用于大型碘化设备。沿着钼制内襯四週纳入大约20磅的小块钒。一个圆柱形的原料放在中心，使熾热体与两边的原料保持相等距离。由于这个适当的几何形装置，使得晶体生长速度加快。

〔下接20頁〕

二、鈸的真空蒸餾法精煉

B. E. Nbahob 等

本文敘述用汽相沉积在加熱表面上的真空蒸餾法制取高純度金屬的方法，證明了除去蒸汽压接近于所精煉金屬的杂质之可能性，求得了制取高純度（99.987%不計算氧）鈸的最好條件，并討論了造成蒸餾鈸中存在碳和氧杂质的原因。

最近十年來，發表了大量關於鈸作為原子反應堆和飛機結構材料的優越性的資料，對於金屬的物理性能會作了十分仔細的研究，特別是在闡明鈸的脆性方面，研究者作出了很大的努力。

雖然鈸的彈性模數較鋼高40%，在比強度方面也勝過鈦合金和航空用銅，然而由於它的塑性低，應用範圍就大大受到限制。

對於確定鈸的脆性有很多不同的見解，這些見解基本上可以歸納為：影響金屬塑性的原因，可能在其中存在某些杂质，尤其是氧，或者由於鈸的組織特點的作用，即金屬固有的脆性。

很多研究者支持第一個觀點，所以，近來力求制取最大純度的鈸是很自然的。精煉鈸的方法各有不同，然而它們多少是不完善的，所以直到現在，制取在碳、氧、硅、錳、鋁及某些其他杂质方面純洁的金屬還未成功。

一般真空蒸餾方法在這種情況下也是不適合的，因為對於蒸氣壓而言，錳、鋁、硅與鈸相差很小。1952年，曾對含有大量杂质的鈸分子束在高溫表面上的凝結過程進行了研究。分析凝結物證明，在某些表面溫度（ $\sim 1000^{\circ}\text{C}$ ）時，實際上不含錳、硅、鋁的鈸沉积在表面上，進一步的實驗表明，氣流密度以及汽化表面與凝結表面之比值，也影響金屬的純化過程。

杂质的蒸餾，基本上由它的蒸汽分压所确定，而在某些程度上显然是由杂质有小于 1 的凝結系数来决定的。

这些实验結果，已被利用为制取总杂质质量（除去氧和碳）小于 0.015% 的铍的工业上蒸餾方法发展的基础，这种方法曾用于铁、锰、镍、铬、镁的精炼，并证明是有效的。

为了近似地估计真空蒸餾过程的效率，一般利用状态图和关于金属在合金中的活度数据，或者在第一級近似程度上对于系統认为拉烏尔定律是正确的，在后一情况下，合金中组份的汽化速度，可以按已知的 *Knudsen—Langmuir* 公式計算。

$$Q = \alpha P(M/2\pi R t)^{1/2}$$

Q — 蒸发速度； P — 蒸汽压；

M — 分子量； α — 冷凝系数 = 1.

用一般方法蒸餾时，对挥发性强烈不同于基底金属的杂质，蒸餾并不困难，如果杂质的挥发性和基底金属的挥发性是接近的，那末，纯化须用在加热表面凝結之蒸餾方法才可能，如在凝結表面上有温度梯度时，在凝結物中杂质的分布基本上将根据表面部分加热程度而定，这时，在某种温度区域会沉积出最纯金属，这些温度区域，不仅是由每种元素的挥发性的不同，而且也是在凝結表面上是否有形成固溶体或化合物的可能性等决定的。在凝結过程中，杂质的完全蒸餾是在这样的表面温度，就是对于这种杂质，它的沉积和升华的速度相等的时候，而这种情况并不是对所有杂质都可以同时实现的。

此外，沉集在凝結表面上的蒸汽流密度，是过程中的根本因素，因为在大的汽流密度下，杂质的原子由于被基底金属所复盖而来不及挥发。

在大的汽流密度下，也提供了在凝結物中形成固溶体的条件。

铍的蒸餾实验，是用油蒸汽扩散泵的抽空设备中进行的，剩余压力为 $10^{-5} \sim 10^{-6}$ 毫米水银柱。

为了防止油蒸汽进入预真空室内，在真空线上以及在室和扩散泵之间装有液氮捕集器。蒸餾铍的坩埚材料为氧化铍。

用铂丝圈将坩埚加热，对于 3 升或 3 升以上容量的坩埚，不需要加热特殊的蒸餾塔。温度条件的选择是用相应的辐射隔板来实现的，在坩埚正

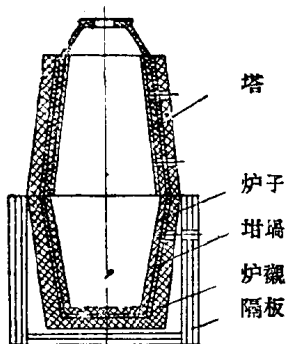


图 1 冷凝塔和坩埚示意图

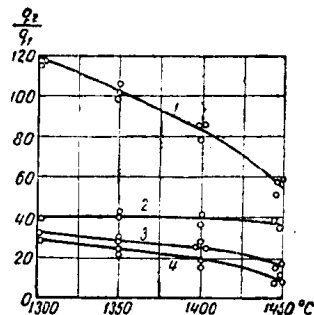


图 2 在不同溫度下真空蒸餾前后
鉛中杂质含量的相对变化
1-鐵 2-錫 3-銅 4-硅

面放一个凝結用的小塔，这是由若干个叠一个的陶瓷环組成的(图 1)，在小塔里面，敷設作凝結用的鉗片，小塔的侧面，具有用測溫計測量溫度的小孔，采用热电偶測溫，根据情况，将凝結表面加热到900~1100°C，金属从坩埚以及凝結表面汽化的最好溫度會在實驗中予以測定。

图 2 表示，在不同汽化溫度下，原始金属中含杂质质量 q_2 对冷凝物中的杂质 q_1 比值的变化。

图 3 表示了由試驗确定的在各种溫度下冷凝塔凝結物中錳含量的曲綫，对于鋁也确定了类似的关系。

由于在蒸餾過程中，坩埚中的鉛夾有揮发性小的杂质，曾进行了确定

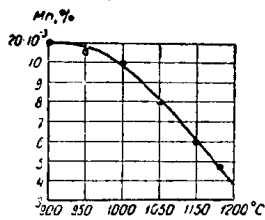


图 3 在不同凝結表面溫度下鉛
中锰含量的变化情况

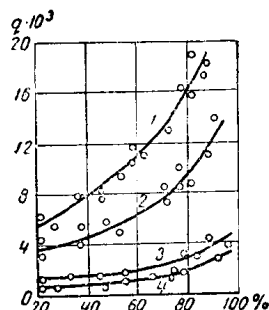


图 4 在金属不同的蒸发量下，
蒸餾鉛中硅、鐵、錫及銅的含量

凝結物的純度与汽化金属数量关系的試驗。

这些試驗指出，在凝結物中杂质含量沒有发生根本变化前，原始金属允許有85~90%量可蒸餾（图4）。

如小塔中有多次凝結用的隔板（图5），則蒸餾具有很大的效率。

原始鋁和沉积在普通的及有隔板的小塔上所获得的鋁的化学分析数据，列于下表，最純的鋁得自隔板小塔的中部区域，其純度为99.99%，其中未計算碳和氧杂质，含碳和氧各为0.02和0.04%。

碳在凝結物中的呈现，可归之于油蒸汽，少量的油蒸汽甚至在有液氮捕集器时也会从扩散泵进入蒸餾区域中。

氧在凝結物中的存在，不能仅仅解釋为真空间不足所致，因在蒸餾器中剩余压力为 10^{-6} 毫米水銀柱，而每0.5米³容量，流入量不超过0.05厘米³/小时。

对于确定比较高的含氧量的原因，也应归于坩埚材料的升华以及由于氧化鋁坩埚与鋁形成 Be_2O 的亞氧化物的反应，而使其移入凝結区域中。

蒸餾鋁具有高塑性，其显微硬度达到200公斤/毫米²，但在針状单晶体則为130公斤/毫米²，原始鋁的显微硬度为450公斤/厘米²。

鑄态蒸餾金属的布氏硬度为100HB，但原始金属为150HB，在加热表面上凝結时，所获得的鋁箔具有极大的塑性，这种金属箔在0.1毫米厚度时，可以允許在大于90°角度作多次的弯曲。

結論

1. 在加热表面上凝結的真空蒸餾方法，給予在鋁中清除錳、硅、鋁等杂质的可能性，而这是不可能用普通蒸餾方法达到的。

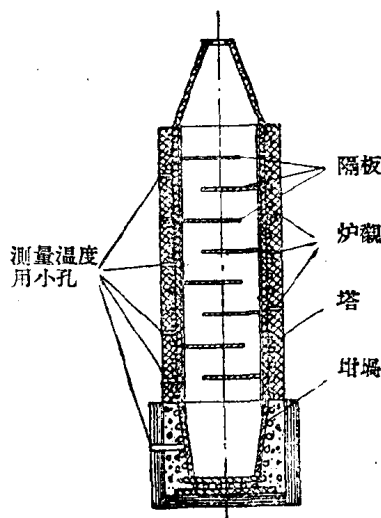


图5 坩埚和隔板塔示意图